

بررسی خواص ساختاری و الکترونی نانو ساختار پنج گوشه دویعدی آلومینیوم آرسنیک (AlAs₅)

صالحی، خالد¹؛ مرادی، محمود¹؛ دعوت الحق، سعید¹

¹بخش فیزیک دانشگاه شیراز، میدان ارم، شیراز

چکیده

با توجه به تحقیقات بر روی نیم‌رسانای دویعدی پنتاگرافن، در اینجا نانو ساختار دویعدی AlAs₅ در فاز پنج گوشه مورد بررسی قرار گرفته است. این کار با استفاده از روش ابتداء ساکن بر پایه نظریه تابعی چگالی انجام و خواص ساختاری و الکترونی ماده یاد شده محاسبه شده است. در این نانو ساختار (AlAs₅) پایداری دینامیکی با نمودار پاشندگی فونونی و پایداری گرمایی ساختار با شبیه سازی دینامیک مولکولی به دست آمده است. با بررسی های انجام شده بر روی این ترکیب مشاهده می شود که تک لایه پنتا آلومینیوم آرسنیک (AlAs₅) یک نیم رسانای دارای گاف انرژی غیر مستقیم در حدود 1/72 الکترون ولت می باشد که با استفاده از روش GGA-PBE به دست آمده است.

Investigating the structural and electronic properties of the two-dimensional nanostructure of penta-aluminum arsenic (AlAs₅)

Salehi, Khaled¹; Moradi, Mahmood¹; Davatolhagh, Saeed¹

¹Department of Physics, Shiraz University, Shiraz, Iran

Abstract

According to the calculations on the two-dimensional pentagraphene semiconductor, we consider the compound of AlAs₅ in the pentagonal phase, we obtained the structural and electronic properties by using first principle calculations based on the density functional theory. In this nanostructure (AlAs₅), dynamic stability has been obtained with phonon scattering diagram and thermal stability of the structure by molecular dynamic simulation. With the investigations carried out on this compound, it can be seen that the single layer of penta-aluminum arsenic (AlAs₅) is a semiconductor with an indirect energy gap of 1.72 eV using GGA-PBE calculations.

مقدمه

بعد از کشف گرافن [1] نانو ساختارهای دویعدی در حوزه نانو بسیار مورد توجه قرار گرفتند. در ابتدا با مطالعات نظری روی برخی از نانو ساختارهای دویعدی مانند گرافن و نیتريد بور بعضی از خواص جالب آن ها پیش بینی شدند و سال ها بعد فیزیکدانان حوزه تجربی موفق به ساخت و مشخصه یابی آن ها شدند [2 و 3]. در میان این دسته از نانو ساختارها، ترکیبات نیمه رسانا دویعدی به علت دارا بودن گاف انرژی و کاربردهای الکترواپتیکی بسیار مورد توجه قرار گرفته اند [4 و 5]. در این میان اتم های پنتا گرافن که

دارای ساختار پنج گوشه بوده و از پایداری ساختاری و دینامیکی قابل قبولی برخوردار هستند مورد توجه قرار گرفتند. تفاوت این ساختار با دیگر نانو ساختارهای دویعدی کربن از جمله گرافن در این است که برای این ساختار دو نوع پیوند اتم کربن با هیبریداسیون های sp² و sp³ وجود دارد، در صورتی که تمام پیوندها در گرافن از نوع sp² می باشد که هر یک به چهار اتم مجاور خود متصل هستند. وجود هم زمان این دو نوع هیبریداسیون سبب شده است که این ساختار دارای یک واپیچش صفحه ای باشد. مطالعات مختلفی بر روی این ساختار صورت گرفته است [6].

پیکو ثانیه و با گام‌های زمانی 2 فمتو ثانیه شبیه‌سازی و مورد محاسبه قرار گرفته است.

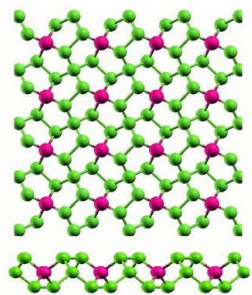
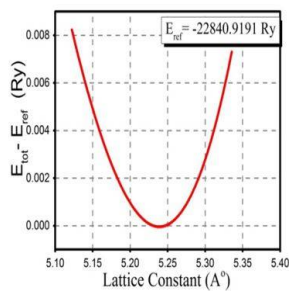
برای اینکه بتوانیم به شکل اولیه نانو ساختار دو بعدی $AlAs_5$ دست یابیم به یک سلول پنتا گرافن واحد نیاز داریم که دارای شش اتم کربن با دو هیبریداسیون sp^2 و sp^3 باشند. بطوریکه دو اتم کربن که دارای هیبرید sp^2 هستند و در صفحه میانی قرار دارند با اتم‌های آلومینیوم و آرسنیک و همچنین به چهار اتم کربن که با هیبرید sp^3 که در صفحات بالایی و پایینی وجود داشته را با اتم‌های آرسنیک جایگزین می‌کنیم.

برای دست یافتن به سلول واحد بهینه این نانو ساختار، بهینه‌سازی هم‌زمان مختصات اتمی و ابعاد یاخته صورت گرفته است. پس از بهینه‌سازی مختصات اتمی، برای دستیابی به ساختار بهینه‌شده سلول واحد، از رابطه حالت ترمودینامیکی **Brich-Murnaghan** به شرح زیر استفاده می‌کنیم [25]:

$$E(V) = E_0 + \frac{9B_0V_0}{16} \left\{ \left[\left(\frac{V_0}{V} \right)^{2/3} - 1 \right]^3 B'_0 \right\} + \frac{9B_0V_0}{16} \left\{ \left[\left(\frac{V_0}{V} \right)^{2/3} - 1 \right]^2 \left[6 - 4 \left(\frac{V_0}{V} \right)^{2/3} \right] \right\} \quad (1)$$

بررسی نتایج

با استفاده از آنچه که در بالا گفته شد برای بررسی خواص یاد شده اقدام به انجام محاسبات نموده‌ایم. با استفاده از این محاسبات مقدار ثابت شبکه سلول به اندازه $5/23 \text{ \AA}^0$ به دست آمده است. تغییرات انرژی سلول واحد این نانو ساختار بر حسب حجم سلول واحد آن محاسبه شده و با استفاده از این تغییرات انرژی سلول واحد بر حسب ابعاد سلول واحد (ثابت شبکه) محاسبه شده در نمودار شکل (1-الف) نشان داده شده است. شکل (1-ب) نشان‌دهنده این ساختار به دست آمده در شبکه مکعبی می‌باشد.



در سال‌های اخیر مطالعات بسیاری در راستای پیدا کردن نانو ساختارهای دو بعدی با ویژگی‌های مشابه با گرافن صورت گرفته است که منجر به پیش‌پای و فرآوری تجربی ساختارهای شبه گرافنی بسیاری شده است [7-18].

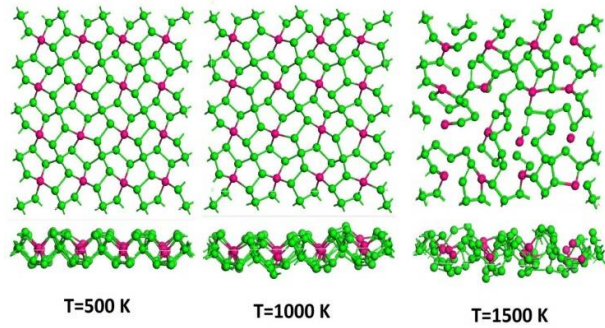
در این مقاله با استفاده از شبیه‌سازی کوانتومی، خواص ساختاری و الکترونی نانو ساختار دو بعدی $AlAs_5$ در فاز پنج‌گوشی و با استفاده از محاسبات ابتدایه ساکن در غالب نظریه تابعی چگالی مورد بررسی قرار خواهد گرفت. پایداری دینامیکی و گرمایی این نانو ساختار با نمودار پاشندگی فونونی و شبیه‌سازی دینامیک مولکولی به ترتیب بررسی شده است.

روش محاسباتی

محاسبات صورت گرفته در این کار بر اساس روش امواج تخت بهبود یافته خطی با پتانسیل کامل (FP-LAPW) در چارچوب نظریه تابعی چگالی (DFT) و کد محاسباتی Wein2k انجام شده است [19]، که برای بسط پتانسیل تبدلی-همبستگی سیستم از تقریب شیب تعمیم یافته (GGA-PBE) استفاده شده است [20].

پارامتر همگرایی $R_{Kmax} = 7$ ، $G_{max} = 14 \text{ Ry}$ ، $l_{max} = 10$ انرژی جداسازی 8 ریدبرگ، همچنین با روش منوخرست-پک [21] محاسبات الکترونی را با مش بندی ساختار شبکه‌ای $10 \times 10 \times 1$ و $20 \times 20 \times 1$ در منطقه‌ی اول بریلوئن، بازه‌ی همگرایی بار برابر 0.0001 الکترون‌ولت، در نظر گرفته و محاسبه شده است.

از نرم‌افزار کوانتوم اسپرسو (Quantum Espresso) برای محاسبه نمودار پاشندگی فونونی و بررسی پایداری دینامیکی استفاده شده است [22]. و سپس در ادامه روند محاسبات از شبه پتانسیل Martin-Troullier استفاده شده است [23]. همچنین برای ارزیابی پایداری گرمایی از شبیه‌سازی دینامیک مولکولی با استفاده از بسته محاسباتی $Dmol^3$ در غالب نرم‌افزار Materials Studio انجام شده است [24]. در این شبیه‌سازی پایداری ساختار در دمای 500 و 1000 و 1500 درجه کلونین تا مدت زمان 10



شکل 4: نمای روبرو و کناری نانوساختار دوبعدی آلومینیوم آرسنیک در دماهای 500 و 1000 و 1500 درجه کلوین بعد از 10 پیکو ثانیه.

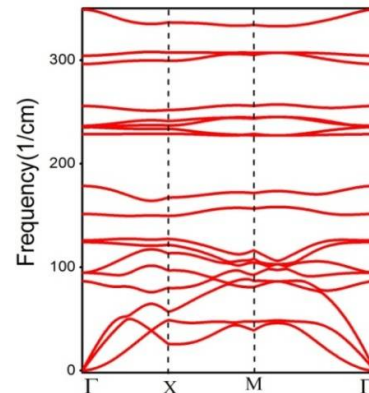
در این شبیه‌سازی پایداری ساختار در برابر دمای 500 و 1000 و 1500 درجه کلوین تا مدت زمان 10 پیکو ثانیه و با بازه‌ی زمانی 2 فمتو ثانیه مورد ارزیابی قرار گرفت. نتایج شبیه‌سازی دینامیک مولکولی نشان می‌دهد که این نانوساختار در دماهای 500 و 1000 درجه کلوین پایداری بسیار خوبی دارد ولی در دمای 1500 درجه کلوین پایداری این نانوساختار به هم می‌ریزد. که به این نتیجه خواهیم رسید که دمای ناپایداری این ساختار بالاتر از 1000 درجه کلوین و بین 1000 تا 1500 درجه کلوین می‌باشد. با این همه کارایی زیادی در دستگاه‌های الکترونیکی با دمای بالا را برای این سیستم به ارمغان می‌آورد.

خواص الکترونی

در این مرحله خواص الکترونی نانوساختار دوبعدی پنتا آلومینیوم آرسنیک ($AlAs_5$) مورد بررسی قرار می‌گیرد. به منظور بررسی خواص الکترونی این ترکیب از ساختار نواری انرژی با تقریب $GGA-PBE$ (Perdew-Burke-Ernzerhof) استفاده شده. نمودار ساختار نواری، چگالی حالات کل و همچنین چگالی حالات جزئی تک لایه این نانوساختار در شکل 5 نشان داده شده است.

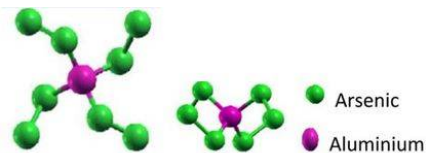
با توجه به شکل (a) 5 می‌توان گفت که این ماده یک نیم‌رسانای غیرمستقیم با گاف نواری $1/72$ الکترون‌ولت با استفاده از محاسبات PBE به دست آمده است. همان‌گونه که مشاهده می‌کنیم، بیشینه حالت نوار ظرفیت آن در نقطه X و کمینه

شکل 1: (سمت چپ-الف) نمودار تغییرات انرژی سلول واحد برحسب ثابت شبکه. (سمت راست-ب) ساختار در دمای صفر درجه کلوین. در ادامه برای بررسی پایداری ساختار مورد نظر، پاشندگی فونونی آن را که با استفاده از نرم‌افزار کوانتوم اسپرسو محاسبه و در شکل شماره 2 نشان داده شده، که حد فرکانس بالای محاسبه شده برای این نانو ساختار دوبعدی 394 cm^{-1} می‌باشد. از آنجایی که هیچ‌گونه مد منفی در ساختار فونونی مشاهده نمی‌شود بنابراین این مسئله نشان‌دهنده پایداری دینامیکی این نانو ساختار دوبعدی است. در این نمودار گاف‌هایی وجود دارد که این گاف‌ها در ناحیه بین شاخه‌های اپتیکی قرار گرفته‌اند که این مقدار فرکانس‌ها در محدوده شاخه‌های اپتیکی است. در شکل 3 نمای روبرو و کناری سلول واحد نشان داده شده است.



شکل 2: نمودار پاشندگی طیف فونونی ساختار دوبعدی پنتا آلومینیوم آرسنیک.

همچنین برای ارزیابی پایداری گرمایی این نانوساختار با ساختن ابرپاخته به ابعاد $4 \times 4 \times 1$ که شامل 96 اتم می‌باشد، رفتار آن را در دماهای 500 و 1000 و 1500 درجه کلوین با استفاده از بسته محاسباتی دینامیک مولکولی $Dmol^3$ در غالب نرم‌افزار **Materials Studio** شبیه‌سازی شده که در شکل 4 نشان داده شده است.

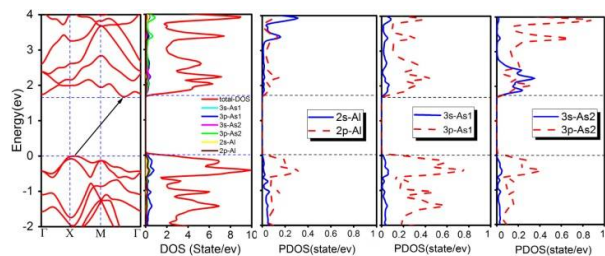


شکل 3: نمای روبرو و کناری سلول واحد.

مرجع‌ها

- [1] K.S. Novoselov, et al, "Electric field effect in atomically thin carbon films", *Science*. **306** (2004) 666.
- [2] C. R. Dean and A. F. Young and I. Meric and C. Lee and L. Wang and S. Sorgenfrei and K. Watanabe and T. Taniguchi and P. Kim and K. L. Shepard and et. al., "Boron Nitride Substrates for High-Quality Graphene Electronics"; *Nat. Nanotechnol.* **5** (2010) 722-726.
- [3] G. R. Bhimanapati and L. Zhang, "Recent Advances in Two - Dimensional Materials beyond graphene"; *ACS Nano*, No. **12** (2015) 11509-11539.
- [4] J. Hicks and A. Tejada and M. S. Nevius, "A wide band gap metal-semiconductor-metal nanostructure made entirely from graphene"; *NATURE PHYSICS VOLUME 9* (2012) 49-54.
- [5] F. Pengyu and Y. Zongfu and F. Shanhui, "Optical Fano resonance of an individual semiconductor nanostructure"; *NATURE MATERIALS* **13** (2014) 471-475.
- [6] W. Xufei and V. Varshney; "Hydrogenation of Penta-Graphene Leads to Unexpected Large Improvement in Thermal Conductivity"; *Nano Lett* **16** (2016) 3925-3935.
- [7] S. Zhang, et al, "Penta-graphene: A new carbon allotrope", *Proc. Natl. Acad. Sci.* **112** (2015) 2372.
- [8] S. Cahangirov, et al, "Two- and One-Dimensional Honeycomb Structures of Silicon and Germanium", *Phys. Rev. Lett.* **102** (2009) 236804.
- [9] M. Wu, et al, "Nine new phosphorene polymorphs with non-honeycomb structures: A much extended family", *Nano Lett.* **15** (2015) 3557.
- [10] S.L. Zhang, et al, "Atomically Thin Arsenene and Antimonene: Semimetal-Semiconductor and Indirect-Direct Band - Gap Transitions", *Angew. Chem. Int. Ed.* **54** (2015) 3112.
- [11] S. L. Zhang, et al, "Semiconducting Group 15 Monolayers: A Broad Range of Band Gaps and High Carrier Mobilities", *Angew. Chem. Int. Ed.* **128** (2016) 1698.
- [12] E. Aktürk, O.Ü. Aktürk, S. Ciraci, "Single and bilayer bismuthene: Stability at high temperature and mechanical and electronic properties", *Phys. Rev. B.* **94** (2016) 014115.
- [13] S. Zhang, et al, "Semiconductor-topological insulator transition of two-dimensional SbAs induced by biaxial tensile strain", *Phys. Rev. B.* **93** (2016) 245303.
- [14] J. Ji, et al, "Two-dimensional antimonene single crystals grown by van der Waals epitaxy", *Nat. Commun.* **7** (2016) 13352.
- [15] S. Zhang, et al, "Antimonene Oxides: Emerging Tunable Direct Bandgap Semiconductor and Novel Topological Insulator", *Nano Lett.* **17**, 3434 (2017).
- [16] A. Lopez-Bezanilla, P.B. Littlewood, "σ-π-Band Inversion in a Novel Two-Dimensional Material", *J. Phys. Chem. C.* **119** (2015) 19469.
- [17] S. Zhang, et al, "Beyond Graphitic Carbon Nitride: Nitrogen-Rich Penta-CN2 Sheet", *J. Phys. Chem. C.* **120** (2016) 3993.
- [18] F. Li, et al, "Flexible structural and electronic properties of a pentagonal B2C monolayer via external strain: a computational investigation", *Phys. Chem. Chem. Phys.* **17** (2015) 24151.
- [19] P. Blaha, et al, "An augmented PlaneWave+ Local Orbitals Program for calculating crystal properties revised edition WIEN2k 13.1 (release 06/26/2013)". *Wien2K Users Guide*, ISBN 3-95010 31-1-2.
- [20] J. P. Perdew, K. Burke, M. Ernzerhof, "Generalized Gradient Approximation Made Simple", *Phys. Rev. Lett.* **77** (1996) 3865.
- [21] H. J. Monkhorst and J. D. Pack, "Special points for Brillouin-zone integrations", *Phys. Rev. B* **13** (1976) 5188.
- [22] P. Giannozzi, et al, "Quantum espresso: a modular and open-source software project for quantum simulations of materials", *Journal of Physics Condensed Matter.* **21** (2009) 395502.
- [23] N. Troullier, J.L. Martins, "Efficient pseudopotentials for plane-wave calculations", *Phys. Rev. B.* **43** (1991) 1993.
- [24] B. Delley, "From molecules to solids with the DMol3 approach", *The Journal of Chemical Physics.* **113** (2000) 7756.
- [25] F. Birch, "Equation of state and thermodynamic parameters of NaCl to 300 kbar in the high - temperature domain", *J. Geophys. Res. B.* **83** (1978) 1257.

حالت‌های نوار رسانش در نقطه‌ای بین Γ و M در منطقه اول بریلونن قرار گرفته‌اند. برای شکل 5 (c,d,e) چگالی حالات جزئی رسم شده است. در حالت تک ساختاری که در شکل 5 (b) مشاهده می‌شود یک نوع اتم آلومینیوم و دو نوع اتم آرسنیک به صورت As_2 و Al با هیبریداسیون sp^2 که قابلیت پیوند با چهار اتم As_1 وجود دارند که در ناحیه‌ی میانی ساختار قرار گرفته و اتم As_1 با هیبریداسیون sp^3 که در نواحی بالایی و پایینی واقع شده و قابلیت پیوند با سه اتم را دارند که هر اتم As_1 با دو اتم As_2 و یک اتم Al پیوند دارد. همان‌طور که از شکل‌های 5 (c,d,e) مشاهده می‌شود اوربیتال p نه تنها در تشکیل نوار ظرفیت بلکه در شکل‌گیری تراز رسانش نیز نقش قابل توجهی دارند. در این میان نقش اوربیتال p اتم As_1 در نوار ظرفیت و نقش اوربیتال p اتم As_2 در نوار رسانش نقش بیشتری دارند.



شکل 5: (a) ساختار نواری. (b) چگالی حالات‌های الکترونی کل. (c,d,e) چگالی حالات جزئی نانو ساختار دویعدی آلومینیوم آرسنیک.

و در نهایت می‌توان این‌گونه نتیجه گرفت که ماده مورد بررسی دارای پایداری مناسبی می‌باشد و این پایداری را طبق محاسبات تا دماهای بالایی حفظ می‌کند و این می‌تواند نوید این باشد که ماده مورد بررسی ما قابلیت کاربرد در قطعات الکترونیکی خاصی که لازم است تا دماهای بالا قابلیت خود را حفظ کند داشته باشد. و این یکی از مزیت‌های این ساختار می‌باشد چراکه خنک‌سازی و تهیه دستگاه‌های الکترونیک مستلزم صرف هزینه و انرژی الکترونیکی بالایی برای تهیه در دستگاه‌هایی مانند کامپیوترها می‌باشد و به کار بردن قطعاتی با ترکیب این ماده می‌تواند باعث صرفه‌جویی مناسبی شود.